

01;06;07;08

## Акустооптический коммутатор $2 \times 2$ оптических излучений с разными длинами волн на основе монокристалла $\text{TeO}_2$

© В.М. Котов

Институт радиотехники и электроники РАН,  
141120 Фрязино, Московская обл., Россия

(Поступило в Редакцию 16 ноября 1995 г.)

Рассмотрены и исследованы принципы акустооптической коммутации двух оптических излучений с разными длинами волн посредством акустооптического взаимодействия с двумя акустическими волнами. Исследованы варианты переключения, когда акустические волны образуют параллелограммы и когда они распространяются строго ортогонально друг другу. Последний вариант является наиболее привлекательным при использовании монокристалла  $\text{TeO}_2$  в качестве акустооптической ячейки. Проведены эксперименты по коммутации двухцветного излучения с длинами волн  $\lambda_1 = 0.5145$  и  $\lambda_2 = 0.488$  мкм, генерируемых Ar лазером, которые показали высокую эффективность переключения. Эксперимент в целом подтвердил основные выводы теории.

В настоящее время в оптических системах передачи информации, в частности волоконно-оптических, широко разрабатываются устройства, позволяющие объединять два входных канала с двумя выходными (коммутаторы  $2 \times 2$ ) без промежуточного преобразования света в иные виды сигналов. В [1–4] рассмотрены такие коммутаторы на базе акустооптического (АО) взаимодействия в высокоэффективных монокристаллах. В этих работах решалась задача коммутации двух оптических излучений в равными длинами волн.

Благодаря широкому применению таких устройств в различных волоконно-оптических системах (лазерной доплеровской анемометрии, волоконно-оптических гироскопах, системах двухцветного мультиплексирования и т. д.) возникла проблема создания коммутаторов-ответвителей  $2 \times 2$ , управляющих оптическими лучами с разными длинами волн. Разработке и исследованию таких коммутаторов на базе высокоэффективного монокристалла  $\text{TeO}_2$  и посвящена данная работа.

Как и в [1–4], будем полагать, что в область АО взаимодействия направлены два сходящихся оптических луча и в этой же области распространяются две акустические волны с параметрами, обеспечивающими брэгговский режим дифракции одновременно для обоих оптических лучей.

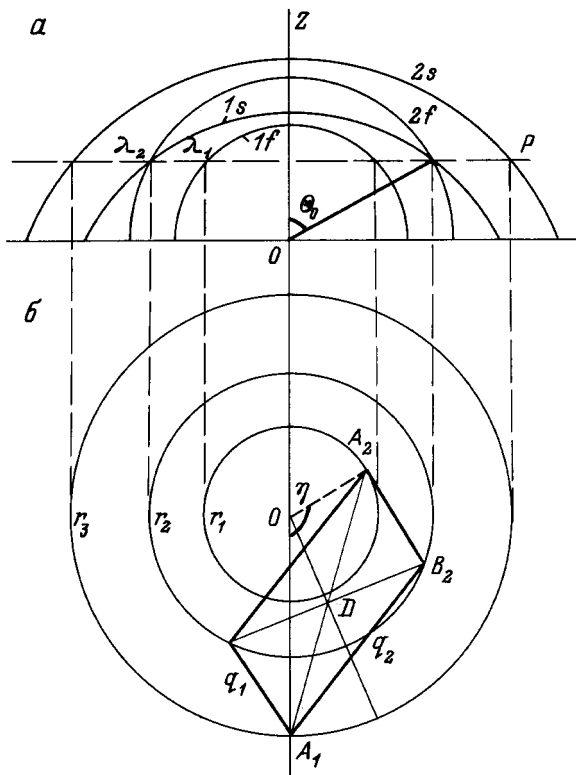
Условие коммутации двух лучей с разными длинами волн посредством АО взаимодействия с двумя акустическими волнами записывается в виде

$$\begin{aligned} \mathbf{K}_1 - \mathbf{K}_0 &= \mathbf{T}_0 - \mathbf{T}_1 = \mathbf{q}_1, \\ \mathbf{K}_2 - \mathbf{K}_0 &= \mathbf{T}_0 - \mathbf{T}_2 = \mathbf{q}_2, \end{aligned} \quad (1)$$

где  $\mathbf{K}_0$  и  $\mathbf{T}_0$  — волновые векторы падающих в АО среду излучений с длинами волн  $\lambda_1$  и  $\lambda_2$  соответственно;  $\mathbf{K}_1$  и  $\mathbf{T}_1$  — волновые векторы лучей  $\lambda_1$  и  $\lambda_2$ , дифрагированных на акустической волне  $\mathbf{q}_1$ ;  $\mathbf{K}_2$  и  $\mathbf{T}_2$  — лучи, дифрагированные на  $\mathbf{q}_2$ .

Как и в [1–4], отсюда следует, что акустические векторы  $\mathbf{q}_1$  и  $\mathbf{q}_2$  должны образовывать параллелограмм.

Рассмотрим реализацию коммутатора  $2 \times 2$  двухцветного излучения на основе одноосного гиротропного кристалла  $\text{TeO}_2$ . На рис. 1,а показано сечение поверхности волновых векторов этого кристалла плоскостью, содержащей оптическую ось  $OZ$ . Кривые  $1f$  и  $1s$  описывают распространение собственных волн излучения  $\lambda_1$  ( $1f$  — "быстрая" волна,  $1s$  — "медленная");  $2f$  и  $2s$  — то же для излучения  $\lambda_2$  ( $\lambda_1 > \lambda_2$ ). Анализ показывает, что коммутация  $2 \times 2$  излучений  $\lambda_1$  и  $\lambda_2$  может быть реализована только в случае, когда одна из волновых поверхностей излучения  $\lambda_1$  пересекает волновую поверхность излучения  $\lambda_2$ . В нашем случае пересекаются волновые поверхности  $1s$  и  $2f$ . Проведем плоскость  $P$  ортогонально  $OZ$  через точки пересечения поверхностей  $1s$  и  $2f$ . На рис. 1,б показан "вид сверху" на плоскость  $P$ . Видно, что эта плоскость пересекает поверхности волновых векторов по трем окружностям, радиусы которых обозначены  $r_1, r_2, r_3$  ( $r_1 < r_2 < r_3$ ). Эти радиусы зависят только от  $\lambda_1, \lambda_2$  и оптических параметров среды. На полученных окружностях можно построить бесконечное множество параллелограммов волновых векторов звука. Методика построения произвольного параллелограмма следующая. Берутся произвольные точки на окружностях радиуса  $r_1$  и  $r_3$  (например, точки  $A_1$  и  $A_2$ ). Точка  $D$ , являющаяся серединой прямой между  $A_1$  и  $A_2$ , соединяется с центром окружностей  $0$ . Прямая, проведенная через точку  $D$  ортогонально прямой  $0D$ , пересекает окружность радиуса  $r_2$  в точках  $B_1$  и  $B_2$ . Четырехугольник  $A_1B_1A_2B_2$  является параллелограммом, так как его диагонали  $A_1A_2$  и  $B_1B_2$  в точке пересечения делятся пополам (по построению). В дальнейшем будем задавать множество параллелограммов посредством параметра  $\cos \eta$ , где  $\eta$  — угол между прямыми  $A_10$  и  $A_20$  (рис. 1,б).



**Рис. 1.** АО коммутация 2×2 лучей с разными длинами волн. Построение параллелограмма волновых векторов звука.

Определим параметры описываемого вида АО дифракции. Показатели преломления одноосного гибридного кристалла даются выражением [5]

$$n^2 = (1 + \operatorname{tg}^2 \theta) \left( \frac{1}{n_0^2} + \frac{\operatorname{tg}^2 \theta}{2} \left( \frac{1}{n_0^2} + \frac{1}{n_e^2} \right) \pm \frac{1}{2} \sqrt{\operatorname{tg}^4 \theta \left( \frac{1}{n_0^2} - \frac{1}{n_e^2} \right)^2 + 4G_{33}^2} \right)^{-1}, \quad (2)$$

где  $\theta$  — угол между волновым вектором оптического излучения, распространяющегося в кристалле, и оптической осью  $OZ$ ;  $n_0, n_e, G_{33}$  — главные показатели преломления и компонента псевдотензора гирации для излучения с длиной волны  $\lambda$ . Знаки  $\pm$  соответствуют показателям преломления двух собственных волн кристалла: знак  $+$  описывает распространение "быстрой" волны,  $-$  — "медленной".

Определим угол  $\theta_0$ , при котором происходит пересечение волновых поверхностей излучений  $\lambda_1$  и  $\lambda_2$  (рис. 1, а) исходя из условия  $(2\pi/\lambda_1)n_s = (2\pi/\lambda_2)N_f$ , где  $n_s$  и  $N_f$  — показатели преломления "медленной" волны излучения  $\lambda_1$  и "быстрой" волны излучения  $\lambda_2$ . Этот угол определяется из следующего уравнения:

$$K_8 \operatorname{tg}^8 \theta_0 + K_6 \operatorname{tg}^6 \theta_0 + K_4 \operatorname{tg}^4 \theta_0 + K_2 \operatorname{tg}^2 \theta_0 + K_0 = 0, \quad (3)$$

где

$$\begin{aligned} K_8 &= a^2 = \frac{1}{4} \left( \frac{\lambda_1}{\lambda_2} \right)^4 B_1 B_2, \\ K_6 &= 2ab, \\ K_4 &= b^2 + 2ac - \left( \frac{\lambda_1}{\lambda_2} \right)^4 (B_2 G_1^2 + B_1 G_2^2), \\ K_2 &= 2bc, \quad K_0 = c^2 - 4 \left( \frac{\lambda_1}{\lambda_2} \right)^4 G_1^2 G_2^2. \end{aligned} \quad (4)$$

Здесь

$$\begin{aligned} a &= T_1^2 - \frac{1}{4} \left[ B_2 + \left( \frac{\lambda_1}{\lambda_2} \right)^4 B_1 \right], \quad b = T_1 T_2, \\ c &= T_2^2 - \left[ G_2^2 + \left( \frac{\lambda_1}{\lambda_2} \right)^4 G_1^2 \right], \\ T_1 &= A_1 \left( \frac{\lambda_1}{\lambda_2} \right)^2 - A_2, \quad T_2 = \frac{1}{n_0^2} \left( \frac{\lambda_1}{\lambda_2} \right)^2 - \frac{1}{N_0^2}, \\ A_1 &= \frac{1}{2} \left( \frac{1}{n_0^2} + \frac{1}{n_e^2} \right), \quad B_1 = \left( \frac{1}{n_0^2} - \frac{1}{n_e^2} \right)^2, \\ A_2 &= \frac{1}{2} \left( \frac{1}{N_0^2} + \frac{1}{N_e^2} \right), \quad B_2 = \left( \frac{1}{N_0^2} - \frac{1}{N_e^2} \right)^2. \end{aligned}$$

В вышеприведенных выражениях  $n_0, n_e, G_1$  — главные показатели преломления и псевдотензор гирации для излучения  $\lambda_1$ ;  $N_0, N_e, G_2$  — то же для излучения  $\lambda_2$ . Величины  $r_1, r_2, r_3$  равны

$$\begin{aligned} r_1 &= \frac{2\pi}{\lambda_1} \sqrt{L_1 - \sqrt{L_1^2 - L_2}}, \quad r_2 = \frac{2\pi}{\lambda_1} \sqrt{L_1 + \sqrt{L_1^2 - L_2}}, \\ r_3 &= \frac{2\pi}{\lambda_2} \sqrt{L_3 + \sqrt{L_3^2 - L_4}}, \end{aligned} \quad (5)$$

где

$$\begin{aligned} L_1 &= n_0^2 n_e^2 A_1 (1 - n_{z1}^2 \cdot n_0^{-2}), \quad L_3 = N_0^2 N_e^2 A_2 (1 - N_{z2}^2 \cdot N_0^2), \\ L_2 &= n_0^2 n_e^2 \left[ n_{z1}^4 (n_0^{-4} - G_1^2) - 2n_{z1}^2 n_0^{-2} + 1 \right], \\ L_4 &= N_0^2 N_e^2 \left[ N_{z2}^4 (N_0^{-4} - G_2^2) - 2N_{z2}^2 N_0^{-2} + 1 \right], \\ n_{z1}^2 &= \left( n_0^{-2} + A_1 \operatorname{tg}^2 \theta_0 - 0.5 \sqrt{B_1 \operatorname{tg}^4 \theta_0 + 4G_1^2} \right)^{-1}, \\ N_{z2}^2 &= \left( N_0^{-2} + A_2 \operatorname{tg}^2 \theta_0 + 0.5 \sqrt{B_2 \operatorname{tg}^4 \theta_0 + 4G_2^2} \right)^{-1}. \end{aligned} \quad (6)$$

При заданном угле  $\theta$  из рис. 1, б нетрудно определить величины волновых векторов звука  $\mathbf{q}_1$  и  $\mathbf{q}_2$ , равные отрезкам  $A_1 B_1$  и  $A_1 B_2$  соответственно;

$$q_{1,2}^2 = 0.25 \left( d_1^2 + d_2^2 \pm 2d_2 r_1 r_2 \sin \eta / h \right), \quad (7)$$

где

$$d_1^2 = r_1^2 + r_3^2 - 2r_1 r_3 \cos \eta, \quad d_2 = 2\sqrt{r_2^2 - h^2},$$

$$h^2 = r_1^2 + 0.25 \cdot d_1^2 - r_1 \sqrt{d_1^2 - r_3^2 \cdot \sin^2 \eta}. \quad (8)$$

Из выражений (7), (8) видно, что  $|q_1|, |q_2|$  зависят от радиусов  $r_1, r_2, r_3$  и угла  $\eta$ . Анализ показывает, что угол  $\eta$  не может быть произвольным, он меняется в пределах  $-1 \leq \cos \eta \lesssim \cos \eta_0$ , где

$$\cos \eta_0 = \frac{4r_2^2 - (r_1^2 + r_2^2)}{2r_1 \cdot r_3}. \quad (9)$$

Угол  $\gamma$  между акустическими волнами  $\mathbf{q}_1$  и  $\mathbf{q}_2$  равен

$$\cos \gamma = \frac{q_1^2 + q_2^2 - d_1^2}{2q_1 q_2}. \quad (10)$$

Исследования полученных уравнений показывают, что этот вид коммутации можно реализовать для излучений, длины волн которых  $\lambda_1$  и  $\lambda_2$  не сильно отличаются друг от друга,

$$\frac{\lambda_1 - \lambda_2}{\lambda_1} \lesssim \frac{n_e - n_0}{n_0}. \quad (11)$$

Иными словами, различие между  $\lambda_1$  и  $\lambda_2$  должно быть не более 4–6%.

Возможен еще один вид коммутации  $2 \times 2$  излучений с разными длинами волн. Он реализуется, когда  $\mathbf{q}_1$  и  $\mathbf{q}_2$  не образует параллелограмм. Строго говоря, для высокоэффективной коммутации (т. е. когда необходимо обеспечить эффективность дифракции в "рабочие" порядки 90%) образовать параллелограмм из векторов  $\mathbf{q}_1$  и  $\mathbf{q}_2$  нельзя. Действительно, при этом возникает ситуация, аналогичная задаче двумерного сканирования света при АО дифракции на двух ортогональных управляющих акустических волнах. Как показано в [6], в этом случае при достаточно большой длине АО взаимодействия и строгом выполнении условий брэгговского синхронизма амплитуды дифрагированных лучей определяются из следующих уравнений:

$$\begin{aligned} 2dc_{00}/dx &= -p_1 c_{10} - p_2 c_{01}, \quad 2dc_{10}/dx = p_1 c_{00} - p_2 c_{11}, \\ 2dc_{01}/dx &= -p_1 c_{11} + p_2 c_{00}, \quad 2dc_{11}/dx = p_1 c_{01} + p_2 c_{10}. \end{aligned} \quad (12)$$

Здесь  $c_{00}$  — амплитуда падающей волны;  $c_{10}$  и  $c_{01}$  — амплитуды света, дифрагированного на акустических волнах  $\mathbf{q}_1$  и  $\mathbf{q}_2$  соответственно (применительно к нашему случаю  $c_{10}$  и  $c_{01}$  — амплитуды "рабочих" порядков, соответствующих коммутируемым сигналам);  $c_{11}$  — амплитуда света, возникающего при повторной дифракции лучей  $c_{10}$  и  $c_{01}$  на тех же акустических волнах. В нашем случае  $c_{11}$  совпадает с направлением распространения второго падающего луча, что несомненно ухудшает характеристики АО переключателя  $2 \times 2$ . В уравнениях (12)  $p_1$  и  $p_2$  — параметры, пропорциональные мощностям звуковых волн  $\mathbf{q}_1$  и  $\mathbf{q}_2$ ;  $x$  — длина АО взаимодействия. Решив (12), получим

$$c_{00} = \cos \frac{p_1 x}{2} \cos \frac{p_2 x}{2}, \quad c_{10} = \sin \frac{p_1 x}{2} \cos \frac{p_2 x}{2},$$

$$c_{01} = \cos \frac{p_1 x}{2} \sin \frac{p_2 x}{2}, \quad c_{11} = \sin \frac{p_1 x}{2} \sin \frac{p_2 x}{2}. \quad (13)$$

Из (13) следует, что при одинаковых акустических мощностях ( $p_1 = p_2$ ) эффективность дифракции в "рабочие" порядки  $I_1 = c_{10}^* \cdot c_{10}$  и  $I_2 = c_{01}^* \cdot c_{01}$  не превышает 25%. При отстройке от конфигурации "параллелограмма акустических векторов" эти эффективности можно значительно повысить. Отстройку от параллелограмма можно сочетать со свойствами  $\text{TeO}_2$ , в котором, как известно, наибольшая эффективность АО дифракции реализуется на взаимоортогональных акустических волнах, распространяющихся в направлениях [110] и [1̄1̄0] [6]. Это позволяет в отличие от вариантов с использованием анизотропной дифракции, исследованных в [1–3], реализовать коммутатор на одном монокристалле. При этом как показывают расчеты, параметр брэгговского рассинхронизма повторных процессов АО взаимодействия  $\gtrsim 100$ , что позволяет пренебречь высшими порядками дифракции. Понятно, что при этом соответствующие дифрагированные лучи, возникающие в процессе АО коммутации, не совпадают, строго говоря, между собой.

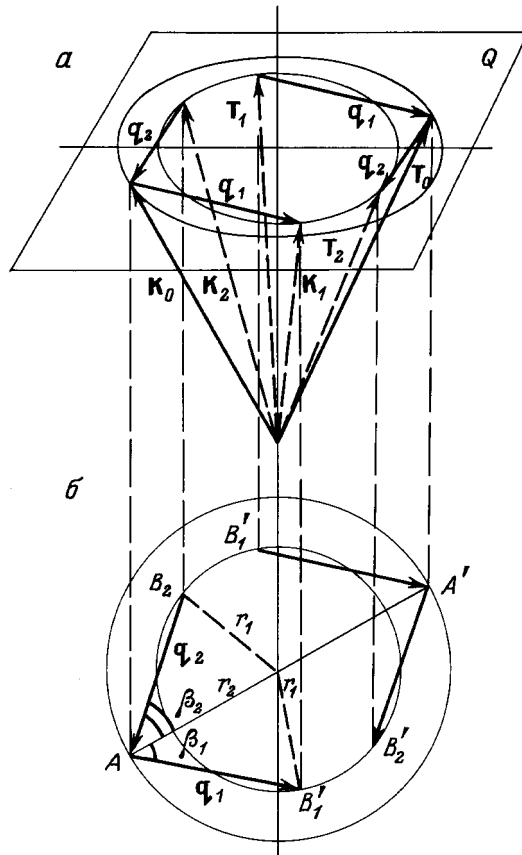


Рис. 2. АО коммутация  $2 \times 2$  лучей с одинаковыми длинами волн при  $\mathbf{q}_1 \perp \mathbf{q}_2$ .

На рис. 2,а показана АО коммутация двух оптических лучей с равными длинами волн, волновые векторы которых  $\mathbf{K}_0$  и  $\mathbf{T}_0$ . При дифракции на  $\mathbf{q}_1$  луч  $\mathbf{K}_0$  дифрагирует в направление  $\mathbf{K}_1$ , а  $\mathbf{T}_0$  — в направление  $\mathbf{T}_1$ ; при дифракции на  $\mathbf{q}_2$  луч  $\mathbf{K}_0$  дифрагирует в  $\mathbf{K}_2$ , а  $\mathbf{T}_0$  — в  $\mathbf{T}_2$ . Здесь рассматривается анизотропная АО дифракция, когда  $\mathbf{q}_1 \perp \mathbf{q}_2$ . Концы оптических векторов и векторы акустических волн лежат в плоскости  $Q$ . На рис. 2,б показан вид сверху на плоскость  $Q$ . Точками  $A$ ,  $B_1$  и  $B_2$  обозначены концы векторов  $\mathbf{K}_0$ ,  $\mathbf{K}_1$  и  $\mathbf{K}_2$  соответственно, точками  $A^1$ ,  $B_1^1$  и  $B_2^1$  — концы векторов  $\mathbf{T}_0$ ,  $\mathbf{T}_1$  и  $\mathbf{T}_2$ . Отрезки  $AB_1$  и  $AB_2$  равны  $|q_1|$  и  $|q_2|$ , угол между  $|q_1|$  и  $|q_2|$  равен  $90^\circ$ . Исследования показывают, что никакими геометрическими построениями нельзя обеспечить совпадение между собой точек  $B_1$  и  $B_2^1$  (соответственно  $B_1^1$  и  $B_2$ ) при  $\mathbf{q}_1 \perp \mathbf{q}_2$ , т. е. нельзя выполнить строгое условие коммутации  $2 \times 2$ . Однако для ряда задач такое расхождение оказывается несущественным.

Вариант коммутации с взаимоортогональными акустическими волнами позволяет коммутировать оптические излучения с любыми длинами волн из оптического и ближнего ИК диапазонов. Однако возникают вопросы, на любых ли акустических частотах возможна такая коммутация и при каких наименьших значениях частот можно коммутировать оптические лучи.

Чтобы ответить на эти вопросы, важные с практической точки зрения, обратимся к рис. 2,б. Обозначим радиусы внутренней и внешней окружностей через  $r_1$  и  $r_2$  (их явный вид получим ниже). Тогда из рис. 2,б нетрудно получить уравнения, связывающие  $r_1$ ,  $r_2$  с  $|q_1|$ ,  $|q_2|$ ,

$$r_1^2 = r_2^2 + q_1^2 - 2r_2 q_1 \cos \beta_1, \quad r_1^2 = r_2^2 + q_2^2 - 2r_2 q_2 \cos \beta_2. \quad (14)$$

Здесь углы  $\beta_1$  и  $\beta_2$ ; они показаны на рис. 2,б;  $\beta_1 + \beta_2 = 90^\circ$ . Исключая из (14)  $\beta_1$  и  $\beta_2$ , получим

$$(r_2^2 - r_1^2)^2 \left( \frac{1}{q_1^2} + \frac{1}{q_2^2} \right) + 4(r_2^2 - r_1^2) + q_1^2 + q_2^2 = 4r_2^2, \quad (15)$$

$r_1$  и  $r_2$  связаны между собой через уравнение оптической индикатрисы кристалла.

Для удобства последующих вычислений перейдем от поверхностей волновых векторов к поверхностям показателей преломления кристалла, т. е. к переменным

$$\begin{aligned} R_1 &= r_1/(2\pi/\lambda), \quad R_2 = r_2/(2\pi/\lambda), \\ Q_1 &= q_1/(2\pi/\lambda), \quad Q_2 = q_2/(2\pi/\lambda). \end{aligned} \quad (16)$$

Известно [7], что индикатрисы одноосного гиротропного кристалла могут быть выражены в следующем виде, удобном для дальнейших расчетов:

$$\frac{n_z^2}{n_0^2} + \frac{n_x^2}{2} \left( \frac{1}{n_0^2} + \frac{1}{n_e^2} \right) \pm \frac{1}{2} \sqrt{n_x^4 \left( \frac{1}{n_0^2} - \frac{1}{n_e^2} \right)^2 + 4G_{33}^2 n_z^4} = 1, \quad (17)$$

где  $n_z$  и  $n_x$  — проекции показателя преломления на оси  $0Z$  и  $0X$ , соответственно.

Проекции  $n_x$  в нашем случае равны  $R_1$  и  $R_2$ , введенным в (16). Выразив из (17)  $n_x$  через  $n_z$ , получим

$$E_1 n_x^4 = 2E_2 n_x^2 + E_3 = 0, \quad (18)$$

где

$$\begin{aligned} E_1 &= (n_0 n_e)^{-2}, \\ E_2 &= 0.5(n_0^{-2} + n_e^{-2})(1 - n_z^2 n_0^{-2}), \\ E_3 &= 1 - 2 \cdot n_z^2 n_0^{-2} + n_z^4 (n_0^4 - G_{33}^2). \end{aligned} \quad (19)$$

Корни уравнения (18) равны

$$n_{x_{1,2}}^2 = \frac{E_2}{E_1} \pm \sqrt{\left( \frac{E_2}{E_1} \right)^2 - \frac{E_3}{E_1}}. \quad (20)$$

Учитывая, что  $n_{x1}^2 = R_2^2$ ,  $n_{x2}^2 = R_1^2$  ( $R_2 > R_1$ ), и подставляя (20) в (15) с учетом (16), после несложных преобразований получим в итоге уравнение 4-й степени относительно  $n_z^2/n_0^2$ :

$$B_8 \left( \frac{n_z}{n_0} \right)^8 + B_6 \left( \frac{n_z}{n_0} \right)^6 + B_4 \left( \frac{n_z}{n_0} \right)^4 + B_2 \left( \frac{n_z}{n_0} \right)^2 + B_0 = 0, \quad (21)$$

где

$$\begin{aligned} B_8 &= a_1^2 F_1, \quad B_6 = a_1 F_1 (n_e^2 + n_0^2 - 4b_1 F_1), \\ B_4 &= 2b_1 (2b_1 + a_1) F_1^2 + F_1 \left[ \frac{a_1}{2} F_2 - (n_e^2 + n_0^2)(2b_1 + a_1) \right] \\ &\quad + n_0^2 n_e^2 - n_0^6 n_e^2 G_{33}^2, \\ B_2 &= -4b_1^2 F_1^2 + b_1 F_1 [3(n_0^2 + n_e^2) - F_2] \\ &\quad + \frac{n_e^2 + n_0^2}{4} F_2 - 2n_0^2 n_e^2, \\ B_0 &= b_1^2 F_1^2 + b_1 F_1 \left[ \frac{F_2}{2} - (n_0^2 + n_e^2) \right] \\ &\quad + n_0^2 n_e^2 - \frac{n_e^2 + n_0^2}{4} F_2 + \frac{F_2^2}{16}. \end{aligned} \quad (22)$$

Здесь  $b_1 = 0.25(n_e^2 - n_0^2)^2$ ,  $a_1 = b_1 + n_0^6 n_e^2 G_{33}^2$ ,

$$F_1 = \frac{1}{Q_1^2} + \frac{1}{Q_2^2}, \quad F_2 = Q_1^2 + Q_2^2.$$

Уравнение (21) точное, оно определяет  $n_z$  в зависимости от заданных взаимоортогональных  $|q_1|$  и  $|q_2|$ . Определив  $n_z$ , находим  $R_1$  и  $R_2$  из (18), а также углы  $\varphi_1$  и  $\varphi_2$  между взаимодействующими лучами и осью  $0Z$

$$\operatorname{tg} \varphi_1 = R_1/n_z, \quad \operatorname{tg} \varphi_2 = R_2/n_z.$$

Для определения минимальных значений  $|q_1|$  и  $|q_2|$  вернемся к уравнению (15), в котором для простоты расчетов положим  $|q_1| = |q_2| = |q|$ . Из него получим

$$r_2^2(r_2^2 - 2r_1^2) + (r_1^2 - q^2)^2 = 0. \quad (23)$$

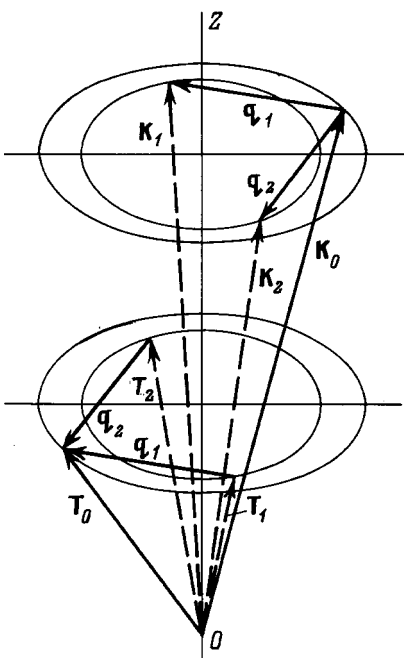


Рис. 3. АО коммутация  $2 \times 2$  лучей с разными длинами волн при  $\mathbf{q}_1 \perp \mathbf{q}_2$ .

Для того чтобы (23) было всегда справедливым, необходимо выполнение условия  $2r_1^2 \gtrsim r_2^2$ . Понятно, что чем меньше  $r_1$ , тем меньше  $q$ . Минимальное значение  $r_1$  достигается при  $2r_1^2 = r_2^2$ , при этом из (23) следует  $r^2 = q^2 = q_{\min}^2$ . Расчеты при вышеназванных условиях приводят к соотношению

$$q_{\min}^2 \approx \left(\frac{2\pi}{\lambda}\right)^2 \cdot 2n_0^3 n_e G_{33}. \quad (24)$$

Иными словами, для реализации описываемого варианта коммутации  $2 \times 2$  необходимо выполнение  $q_{1,2} \gtrsim q_{\min}$ . Отметим, что углы  $\varphi_1$  и  $\varphi_2$  при этом находятся из выражений  $\operatorname{tg}^2 \varphi_1 \approx 2n_0 n_e G_{33}$ ,  $\operatorname{tg}^2 \varphi_2 \approx 4n_0 n_e G_{33}$ . Коммутацию каналов  $2 \times 2$  с двумя взаимоортогональными акустическими волнами можно рассматривать в нашем случае как два независимых процесса: дифракцию излучения  $\mathbf{K}_0$  с длиной волны  $\lambda_1$  на акустических волнах  $\mathbf{q}_1$  и  $\mathbf{q}_2$  и дифракцию  $\mathbf{T}_0$  с длиной волны  $\lambda_2$  на тех же акустических волнах. В обоих процессах необходимо обеспечить условия брэгговского режима дифракции. На рис. 3 показана векторная диаграмма такой коммутации: излучение  $\mathbf{K}_0$  с длиной волны  $\lambda_1$  дифрагирует в направление  $\mathbf{K}_1$  при АО взаимодействии с  $\mathbf{q}_1$  и в направление  $\mathbf{K}_2$  при взаимодействии с  $\mathbf{q}_2$ . Излучение  $\mathbf{T}_0$  с длиной волны  $\lambda_2$  ( $\lambda_2 > \lambda_1$ ) дифрагирует в направления  $\mathbf{T}_1$  и  $\mathbf{T}_2$  при АО взаимодействии с  $\mathbf{q}_1$  и  $\mathbf{q}_2$  соответственно. Этот вид коммутации обеспечивает наибольшую эффективность дифракции в рабочие порядки, однако направления соответствующих коммутируемых лучей ( $\mathbf{K}_1$  и  $\mathbf{T}_2$ ,  $\mathbf{K}_2$  и  $\mathbf{T}_1$ ) не совпадают между собой.

Эксперимент по коммутации  $2 \times 2$  двухцветного излучения выполнялся на базе монокристалла  $\text{TeO}_2$ . На рис. 4 показана оптическая схема эксперимента. Падающие на АО ячейку 1 лучи 2 и 3, длины волн которых  $\lambda_1 = 0.5145$  и  $\lambda_2 = 0.488$  мкм соответственно, генерировались Ar лазером. Дополнительными оптическими элементами (на рис. 4 не показаны) они направлялись на ячейку 1 под брэгговскими углами к акустическим волнам, генерируемым пьезопреобразователями 4 и 5 из  $\text{LiNbO}_3$ . Размеры кристалла  $8 \times 8 \times 8$  мм вдоль направлений [110], [ $\bar{1}\bar{1}0$ ] и [001] соответственно. АО дифракция происходила на акустических волнах с частотами  $f_1 = f_2 = 84$  МГц. Длина АО взаимодействия 6 мм. Излучение 2 дифрагировало в направления 6 и 6', излучение 3 — в направления 7 и 7'. Эксперимент показал, что дифрагированные лучи 6 и 7 (а также 6' и 7') не совпадают между собой, их угловое расхождение 3–4°. Эффективность дифракции составила 40% при акустической мощности  $P = 0.2$  Вт. При этом возникали другие порядки дифракции, суммарная интенсивность которых не превышала 5–7% от дифрагированного в рабочие порядки излучения. Дифракция в высшие порядки может быть обусловлена несколькими причинами; конечной расходимостью световых и звуковых волн, неоднородностью кристалла, неоднородностью звукового поля, дифракцией на звуковых волнах, переотраженных от граней кристалла, и т. д.

В описываемом эксперименте не ставилась задача получить максимальную эффективность дифракции (в частности, эксперимент проводился не с циркулярно, а с линейно поляризованными излучениями  $\lambda_1$  и  $\lambda_2$ ); в данном случае экспериментально подтверждена возможность высокоэффективной АО коммутации  $2 \times 2$  излучений с разными длинами волн.

На основании вышеизложенного можно сделать следующие выводы: рассмотрены принципы АО коммутации двух оптических излучений с разными длинами волн на основе АО взаимодействия с двумя акустическими волнами; исследованы варианты АО переключения, когда акустические волны образуют параллелограммы и когда они распространяются стро-

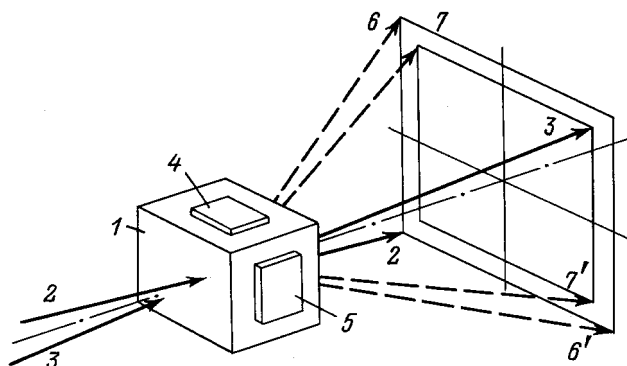


Рис. 4. Оптическая схема эксперимента.

го ортогонально друг другу. Показано, что последний вариант является наиболее привлекательным при использовании монокристалла  $\text{TeO}_2$  в качестве АО ячейки; проведены эксперименты по АО переключению  $2 \times 2$  на основе последнего варианта, подтвердившие основные теоретические положения.

## Список литературы

- [1] Антонов С.Н., Гулляев Ю.В., Котов В.М., Поручиков П.В. // РиЭ. 1987. Т. 32. № 3. С. 623–628.
- [2] Антонов С.Н., Котов В.М. // Радиотехника. 1988. С. 22–27.
- [3] Kотов V.M., Shkerdin G.N. // Conf. Proc. "ISFOC-93". St.Petersburg, 1993. P. 175–178.
- [4] Котов В.М. ЖТФ. // 1993. Т. 63. Вып. 1. С. 180–183.
- [5] Котов В.М. ЖТФ. // 1995. Т. 37. Вып. 1. С. 261–270.
- [6] Балакшин В.И., Парыгин В.Н., Чирков Л.Е. Физические основы акустооптики. М.: Радио и связь, 1985. 280 с.
- [7] Котов В.М. // Опт. и спектр. 1993. Т. 74. Вып. 2. С. 386–391.